

Tasso di mortalità per infezione stratificata per età del COVID-19 nei non anziani informati dagli studi nazionali di sieroprevalenza pre-vaccinazione | medRxiv

Pdf by:
<https://www.pro-memoria.info>

ASTRATTO

Il tasso di mortalità per infezione (IFR) del COVID-19 tra le persone non anziane in assenza di vaccinazione o infezione precedente è importante da stimare con precisione, poiché il 94% della popolazione mondiale ha meno di 70 anni e l'86% ha meno di 60 anni. Nelle ricerche sistematiche in SeroTracker e PubMed (protocollo: <https://osf.io/xvupr>), abbiamo identificato 40 studi nazionali di sieroprevalenza ammissibili che coprono 38 paesi con dati di sieroprevalenza pre-vaccinazione. Per 29 paesi (24 ad alto reddito, altri 5), erano disponibili dati sui decessi COVID-19 stratificati per età pubblicamente e informazioni sulla sieroprevalenza stratificata per età e sono stati inclusi nell'analisi primaria. Gli IFR avevano una mediana dello 0,035% (intervallo interquartile (IQR) 0,013 - 0,056%) per la popolazione di 0-59 anni e dello 0,095% (IQR 0,036 - 0,125%,) per gli 0-69 anni. L'IFR mediano era dello 0,0003% a 0-19 anni, dello 0,003% a 20-29 anni, dello 0,011% a 30-39 anni, dello 0,035% a 40-49 anni, dello 0,129% a 50-59 anni e dello 0,501% a 60-69 anni. Includere i dati di altri 9 paesi con distribuzione per età imputata dei decessi per COVID-19 ha prodotto un IFR mediano di 0,025-0,032% per 0-59 anni e 0,063-0,082% per 0-69 anni. Le analisi di meta-regressione hanno anche suggerito IFR globale dello 0,03% e dello 0,07%, rispettivamente in questi gruppi di età. L'analisi attuale suggerisce un IFR pre-vaccinazione molto più basso nelle popolazioni non anziane rispetto a quanto suggerito in precedenza.

Esistevano grandi differenze tra i paesi e possono riflettere differenze nelle comorbilità e in altri fattori. Queste stime forniscono una linea di base da cui per approfondire ulteriori diminuzioni IFR con l'uso diffuso della vaccinazione, le infezioni precedenti e l'evoluzione di nuove varianti.

Punti salienti *In 31 studi nazionali di sieroprevalenza sistematicamente identificati nell'era pre-vaccinazione, il tasso mediano di mortalità per infezione del COVID-19 è stato stimato allo 0,035% per le persone di età compresa tra 0 e 59 anni e dello 0,095% per le persone di età compresa tra 0 e 69 anni.

*L'IFR mediano era dello 0,0003% a 0-19 anni, dello 0,003% a 20-29 anni, dello 0,011% a 30-39 anni, dello 0,035% a 40-49 anni, dello 0,129% a 50-59 anni e dello 0,501% a 60-69 anni.

*A livello globale, l'IFR pre-vaccinazione potrebbe essere stato basso come lo 0,03% e lo 0,07% per le persone di 0-59 e 0-69 anni, rispettivamente.

*Queste stime IFR nelle popolazioni non anziane sono inferiori a quanto suggerito dai calcoli precedenti.

1. INTRODUZIONE

La pandemia di Coronavirus 2019 (COVID-19) ha avuto gravi conseguenze in tutto il mondo. Tra le persone che muoiono di COVID-19, il più grande onere è portato dagli anziani (1), e le persone che vivono in case di cura sono particolarmente vulnerabili (2). Tuttavia, le persone non anziane rappresentano la stragrande maggioranza della popolazione mondiale, con il 94% della popolazione mondiale di età inferiore ai 70 anni, il 91% di età inferiore ai 65 anni e l'86% di età inferiore ai 60 anni. È quindi importante ottenere stime accurate del tasso di mortalità per infezione (IFR) del COVID-19 tra le persone non anziane, cioè la percentuale di deceduti tra le persone infette, e valutare la stratificazione

per età dell'IFR tra gli strati non anziani. Tali valutazioni hanno profonde implicazioni per la salute pubblica, dalla valutazione della pertinenza delle misure di prevenzione alle strategie di vaccinazione. Diverse valutazioni precedenti (3-6) hanno già sintetizzato informazioni sulle stime di IFR stratificata per età. La maggior parte di quelli utilizzati ha utilizzato i dati dei primi studi pubblicati, e questi tendeva ad avere informazioni provenienti per lo più da paesi duramente colpiti, quindi potenzialmente con stime IFR gonfiate. Inoltre, diverse scelte analitiche e di progettazione per queste revisioni e sintesi dei dati possono essere contestate (7) e da allora sono stati pubblicati molti altri studi di sieroprevalenza potenzialmente informativi. Recentemente abbiamo esaminato l'IFR stratificato per età nelle popolazioni non anziane come analisi secondaria di un progetto incentrato principalmente sull'IFR negli anziani (8); tuttavia, in questa valutazione sono stati considerati solo studi con campionamento fino alla fine del 2020 e che avevano un gran numero di individui anziani. L'IFR mediano che considera i dati disponibili da studi sulla popolazione generale pienamente rappresentativi è stata di 0,0009% a 0-19 anni, 0,012% a 20-29 anni, 0,035% a 30-39 anni, 0,109% a 40-49 anni, 0,34% a 50-59 anni e 1,07% a 60-69 anni senza tenere conto della sieroversione (perdita di anticorpi nel tempo 8).

Qui, abbiamo esteso l'analisi dell'IFR COVID-19 in criteri di età non anziani relativi all'era pre-vaccinazione per esaminare gli studi pubblicati fino alla metà del 2022 indipendentemente dal fatto che avessero anche molti partecipanti anziani, utilizzando metodi rigorosi per la selezione e l'analisi degli studi. Ci siamo concentrati su studi che hanno valutato la sieroprevalenza in campioni rappresentativi della popolazione generale a livello nazionale. Abbiamo anche esplorato se la popolazione e altre caratteristiche erano associate all'IFR nella popolazione non anziana.

2. METODI

2.1 Progettazione e protocollo

Questa era un'analisi mista che combinava dati provenienti da diverse fonti. Le analisi della stima dell'IFR nei non anziani sono state eseguite in paesi in cui erano disponibili informazioni sui decessi per COVID-19 stratificati per età in modo da poter separare i decessi tra i non anziani. Il protocollo per questo studio è stato registrato presso l'Open Science Framework (<https://osf.io/xvupr>) prima dell'analisi completa dei dati, ma dopo aver pilotato la disponibilità dei dati e dopo aver effettuato analisi su alcuni studi come parte di un progetto correlato incentrato sulle stime IFR negli anziani (8). Un progetto secondario che utilizza strategie di ricerca e criteri di ammissibilità simili ma incentrato sui rapporti di sieroprevalenza relativi in diverse fasce d'età (9) è stato incluso nello stesso protocollo e pubblicato separatamente.

2.2 Studi di sieroprevalenza ammissibili

Abbiamo identificato studi di sieroprevalenza (pubblicazioni peer-reviewed, rapporti ufficiali o preprint) nella revisione sistematica dal vivo SeroTracker (10) ed eseguito una ricerca PubMed utilizzando la stringa "sieroprevalenza E (nazionale O stratificata) E COVID-19" per identificare studi potenzialmente idonei che sono stati pubblicati di recente e quindi potrebbero non essere ancora stati indicizzati in Ser. La ricerca iniziale è stata eseguita l'8 febbraio 2022 e aggiornata il 25 maggio 2022.

Abbiamo incluso solo quegli studi sulla sieroprevalenza della SARS-CoV-2 che soddisfacevano i seguenti criteri:

1. Campionamento di qualsiasi numero di partecipanti di età <70 anni in un campione rappresentativo nazionale.
2. Il campionamento è stato completato entro la fine di febbraio 2021 e almeno il 90% dei campioni era stato raccolto prima della fine di gennaio 2021 (per evitare l'impatto della vaccinazione sui calcoli IFR).
3. Sono stati inclusi adulti (≥ 21 anni), indipendentemente dal fatto che i

bambini e/o gli adolescenti siano stati inclusi o meno.

4. Ha fornito una stima della sieroprevalenza per le persone non anziane (preferibilmente per <70 anni e/o <60 anni, ma qualsiasi cut-off tra 54 e 70 anni era accettabile)
5. Esplicitamente mirato a generare campioni che riflettono la popolazione generale.

Abbiamo escluso studi incentrati su coorti di pazienti (compresi campioni clinici residui), donatori di sangue, lavoratori (assistenza sanitaria o altro) e richiedenti assicurativi e studi in cui la popolazione esaminata avrebbe potuto avere un rischio inferiore o più elevato rispetto alla popolazione generale, come spiegato e giustificato altrove (9).

Simile al rispettivo protocollo per la stima dell'IFR negli anziani (8) e al progetto sui rapporti di sieroprevalenza nei non anziani rispetto agli anziani (9), abbiamo utilizzato regole predefinite (i) per gli studi condotti negli Stati Uniti (sono stati mantenuti solo quelli che avevano aggiustato le stime di sieroprevalenza per razza/etnia, poiché questo fattore è noto per associarsi [1-specificità del test] e/o l'intervallo di confidenza del 95% della sieroprevalenza è andato allo 0% (escluso, poiché l'incertezza sulla sieroprevalenza [e quindi anche IFR] per loro era molto ampia); e (iv) per i limiti di età (esclusi gli studi che includevano nel loro campionamento solo bambini e/o adolescenti senza

Infine, le principali analisi hanno considerato solo gli studi di paesi in cui erano disponibili informazioni sulla percentuale di decessi cumulativi da COVID-19 tra i non anziani con un limite superiore posto tra 60-70 anni. I paesi senza queste informazioni sono stati considerati nelle analisi di sensibilità mentre facevano alcune ipotesi per l'imputazione della distribuzione per età dei decessi per COVID-19 (come discusso di seguito).

2.3 Informazioni estrate

L'estrazione dei dati per gli articoli ammissibili è stata eseguita in duplice copia da almeno due autori in modo indipendente (AA, AMP, DCI) e sono stati discussi i disaccordi. In caso di disaccordi persistenti, un terzo autore ha arbitrato.

Per ogni studio potenzialmente idoneo, abbiamo cercato di identificare i dati disponibili sulla percentuale di decessi cumulativi per COVID-19 tra le persone <70 anni e tra le persone <60 anni, che sono le due definizioni principali per la popolazione non anziana nella nostra analisi. Se i dati non erano disponibili per questi due cut-off, ma erano disponibili per un cut-off di <65, abbiamo imputato i rispettivi dati di morte per i cut-off di <70 e <60. Per le imputazioni, abbiamo ipotizzato che in un intervallo di 10 anni in quella età, 1/3 dei decessi si fossero verificati nel bidone inferiore di 5 anni e 2/3 dei decessi si fossero verificati nel bidone superiore di 5 anni. Ad esempio, se sono stati forniti dati sui decessi per i contenitori di età < 55, 55-65 e 65-75 anni, abbiamo ipotizzato che 1/3 dei decessi nel contenitore di età 55-65 si siano verificati nel gruppo 55-60 anni in modo da stimare i decessi <60 anni; e abbiamo ipotizzato che 2/3 dei decessi nel contenitore di età 65-75 si siano verificati. Gli studi condotti in paesi in cui non erano disponibili informazioni sui decessi per COVID-19 stratificati per età con un taglio di età nell'intervallo 60-70 sono stati considerati solo nelle analisi di sensibilità con imputazione della distribuzione per età dei decessi per COVID-19 (come discusso di seguito).

Simile ai progetti precedenti (3, 9), abbiamo estratto da tutti gli studi di sieroprevalenza ammissibili le loro informazioni sul paese, la strategia di reclutamento e campionamento, le date di raccolta del campione, la dimensione del campione nel gruppo non anziano (utilizzando limiti di età <70, <65 e <60, a seconda di quale fosse disponibile) e i tipi di anticorpi SARS-CoV2

Per la popolazione non anziana, abbiamo estratto la sieroprevalenza stimata non aggiustata (campioni positivi divisi per tutti i campioni testati), la sieroprevalenza più completamente aggiustata e i fattori che gli autori hanno considerato per l'aggiustamento nei calcoli più completamente adeguati.

I titoli degli anticorpi possono diminuire nel tempo. Ad esempio, uno studio di modellazione che stima il tempo medio dalla sieroconversione alla sieroversione a 3-4 mesi (11) e altri ricercatori hanno anche trovato forti diminuzioni della sensibilità del test anticorpale nel tempo (12) e una revisione sistematica ha trovato una grande variabilità nei tassi di sieroversione tra saggi e studi (13). Pertanto, per coerenza, se c'erano più punti temporali diversi quando la sieroprevalenza è stata valutata in un dato studio, abbiamo selezionato quello che ha dato la più alta stima della sieroprevalenza e quando c'era un pareggio abbiamo scelto il primo (in un'analisi di sensibilità, abbiamo escluso dai calcoli gli studi in cui il punto temporale scelto non era l'ultimo).

Ogni volta che gli autori avevano già aggiustato la sieroversione, abbiamo usato la stima aggiustata per la sieroversione. Quando gli autori non si erano aggiustati per la sieroversione, abbiamo aggiustato il tasso mensile del 5% di sieroversione, correggendo la sieroprevalenza osservata di $0,95^m$ -fold, dove m è il numero di mesi dal picco della prima ondata epidemica nella posizione specifica. Il picco della prima ondata epidemica è stato definito come una settimana prima della data con la più alta mortalità media mobile a 7 giorni (secondo Worldometer) fino al 31 agosto 2020. Se due o più date erano pareggiate per i valori di picco, abbiamo scelto la data corrispondente al punto medio tra la prima e l'ultima.

Ogni volta che gli autori non si sono adattati alle prestazioni del test degli anticorpi (sensibilità e specificità), abbiamo usato la formula Gladen-Rogan (14) per effettuare questo aggiustamento.

La dimensione della popolazione complessiva e nella popolazione non

anziana (utilizzando cut-off di 70 anni e di 60 anni) nel paese in questione è stata ottenuta principalmente dallo studio sulla sieroprevalenza. Se non fornito nello studio, abbiamo utilizzato populationpyramid.net, i dati ufficiali sulla popolazione (ad esempio, l'ultimo censimento nazionale disponibile) o worldpopulationreview.com, in quest'ordine, per recuperare il numero pertinente per la fine del 2020 (o il più vicino possibile a quella data).

I decessi cumulativi per COVID-19 in tutto e nella popolazione non anziana (utilizzando separatamente i tagli <70 e <60 anni) per il paese in questione sono stati estratti, ogni volta che disponibili, da COVERAGE-DB (15) [<https://osf.io/mpwjg/>], The Demografia del database dei decessi COVID-19 dell'Institut national d Sia COVERAGE-DB che DCD-INED sono compilazioni di rapporti ufficiali. Il numero totale di decessi (confermati e probabili) è stato preferito ogni volta che era disponibile. Abbiamo estratto i decessi accumulati fino alla data 1 settimana dopo il punto medio del periodo di studio sulla sieroprevalenza (o la data più vicina a questa che aveva dati disponibili) per tenere conto di diversi ritardi nello sviluppo di anticorpi rispetto alla morte per infezione. Per un'analisi di sensibilità, abbiamo estratto i dati sui decessi accumulati fino alla data 2 settimane dopo il punto medio. Per punto medio, ci si riferisce alla data mediana del campionamento, o (se il tasso di campionamento nel tempo non è chiaro e non si suggerisce che fosse irregolare in periodi di tempo diversi) il punto temporale che è equidistante dalle date di inizio e di fine. Se lo studio di sieroprevalenza ha affermato forti argomenti per utilizzare un altro punto temporale o approccio, mentre riportava statistiche ufficiali sul numero di decessi per COVID-19 in generale e nella popolazione non anziana, abbiamo invece estratto quel numero. Il numero di decessi è solo un'approssimazione e può essere parziale per vari motivi, tra cui il diverso ritardo dall'infezione alla morte e la documentazione diagnostica imperfetta del COVID-19 che potenzialmente porta a una sottovalutazione o eccessiva (17).

2.4 Stima del numero di persone infette e decedute non anziana

Il numero di persone infette è stato stimato moltiplicando la stima corretta della sieroprevalenza e la dimensione della popolazione in non anziani. Se uno studio non ha fornito una stima della sieroprevalenza aggiustata, abbiamo invece usato la sieroprevalenza non aggiustata, come accennato sopra. Sia le stime aggiustate che quelle non aggiustate sono state corrette per le prestazioni del test e la sieroversione, a meno che non siano già state corrette dagli autori. Per le località che non hanno riportato i dati di sieroprevalenza per il gruppo non anziano per i cut-off <60 e <70, abbiamo utilizzato la stima della sieroprevalenza per il cut-off più vicino disponibile nell'intervallo 60-70. Abbiamo applicato una correzione per gli studi che hanno escluso le persone con diagnosi di COVID-19 dalla partecipazione al loro campione, utilizzando principalmente le correzioni degli autori dello studio (ad esempio, test PCR) o aggiungendo il numero di casi di COVID-19 identificati in non anziani che vivono nella comunità per la posizione fino al punto medio dello studio di sieroprevalenza. Per gli studi che hanno eseguito indagini utilizzando sia il test di sieroprevalenza che PCR e presentati come dati di analisi principali per essere positivi in entrambi i test, abbiamo utilizzato i dati che riflettono l'infezione documentata in entrambi i modi.

Il numero totale di decessi per COVID-19 nei non anziani (per i cut-off <60 e <70) è stato contato dalle fonti disponibili fino a 1 settimana dopo il punto medio del periodo di studio di sieroprevalenza. Se la distribuzione per età dei decessi per COVID-19 era disponibile solo per una data superiore a 1 settimana a parte quella preferita, abbiamo ipotizzato che le proporzioni dei decessi stratificati per età fossero stabili tra i punti temporali e deducessero il numero totale di decessi per la data preferita. Cioè, abbiamo calcolato la percentuale di decessi nei non anziani per la data disponibile (vale a dire, il numero di decessi nei non anziani diviso per il numero totale di decessi) e l'abbiamo moltiplicata con il numero totale di

decessi per la data preferita per ottenere i decessi COVID-19 nei non anziani per la data preferita. Quando i decessi per COVID-19 non erano disponibili per i tagli <60 e <70 (ad esempio dati solo per il contenitore di età 65-75), li abbiamo imputati usando l'imputazione di 1/3 di regola per scomporre i contenitori di 10 anni in contenitori di 5 anni, come menzionato sopra.

2.5 Stima IFR

Abbiamo calcolato l'IFR dedotto nel non anziano, dividendo il numero di decessi in questo gruppo di popolazione per il numero di persone infette per lo stesso gruppo di popolazione. Abbiamo eseguito calcoli separati definendo i non anziani come quelli <60 e quelli <70 anni.

2.6 Estrazione dei dati per analisi stratificata per età all'interno del gruppo non anziano

Le stesse considerazioni sopra descritte per l'intera popolazione non anziana sono state applicate per estrarre informazioni sulla sieroprevalenza, le dimensioni della popolazione e il numero di decessi per COVID-19 per strati di età separati all'interno della popolazione non anziana, ove disponibili. Ogni volta che erano disponibili stime di sieroprevalenza e dati sulla mortalità COVID-19 per specifici gruppi di età granulari, abbiamo integrato l'estrazione dei dati per tutti gli strati di età disponibili.

Gli studi sono stati esclusi dall'analisi age-stratified se non erano disponibili dati di mortalità per uno strato di età di larghezza massima di 20 anni e di età massima di 70 anni. Abbiamo usato gli stessi punti temporali di quelli selezionati per l'analisi complessiva dei dati non anziani. Abbiamo incluso tutti gli strati di età con una larghezza massima di 20 anni e informazioni disponibili sulla mortalità COVID-19.

Abbiamo abbinato le rispettive stime di sieroprevalenza per ogni strato di età con i dati di mortalità ammissibili. Strati consecutivi di 1-5 anni sono stati fusi per generare bidoni di 10 anni. Per le stime di sieroprevalenza abbiamo utilizzato gli strati di età che coprono/corrispondono più pienamente al contenitore di età per il quale sono disponibili dati sulla mortalità; in particolare per i gruppi di età più giovani, sono stati accettati i dati di sieroprevalenza del gruppo disponibile più vicino con qualsiasi persona campionata ≤ 20 anni. Ad esempio, per lo studio Ward et al UK (18), lo strato più giovane con dati di sieroprevalenza ha 18-24 anni. Le statistiche sulla popolazione per ogni contenitore di età analizzato sono state ottenute dalle stesse fonti dell'analisi complessiva per i non anziani.

Per i paesi per i quali mancavano informazioni sull'età per una percentuale dei decessi cumulativi da COVID-19, abbiamo ipotizzato che la distribuzione per età fosse la stessa della percentuale non mancante.

2.7 Sintesi dei dati

I principali risultati sono stati l'IFR nelle persone di età <60 anni e <70 anni, così come le stime dell'IFR stratificata per età in contenitori di età più piccoli tra i non anziani.

Simile ai precedenti lavori sugli studi di stima dell'IFR (3,8), abbiamo stimato l'IFR ponderato per dimensioni del campione di non anziani (separatamente per <60 e <70 anni) per ciascun paese (se erano disponibili più studi per quel paese) e quindi stimato la mediana e la gamma di IFR tra i paesi. Ci aspettavamo un'eterogeneità molto ampia tra le stime IFR, quindi non abbiamo usato metodi di meta-analisi.

Per generare grafici di IFR con alcune stime di incertezza, abbiamo eseguito un calcolo del 95% di IC di IFR sulla base di IC del 95% estratti dalle stime di sieroprevalenza. Principalmente, gli intervalli di confidenza del 95% sono estrazioni dirette dagli studi di sieroprevalenza. Per gli studi

che non riportavano tali intervalli, abbiamo integrato l'analisi con un calcolo utilizzando il numero di individui non anziani campionati e sieropositivi (calcolo dell'intervallo di Clopper Pearson). Per quelli che hanno fornito stime corrette per le fasce di età, abbiamo combinato le stime per ogni studio utilizzando una meta-analisi della varianza inversa a effetti fissi (di proporzioni trasformate in resina arcsina) per ottenere IC al 95%. Nessun altro fattore è stato introdotto nel calcolo oltre agli aggiustamenti effettuati dagli autori dello studio di sieroprevalenza (tranne l'adeguamento delle stime per le prestazioni del test utilizzando la formula Gladen-Rogan e l'adeguamento anche per la sieroversione -supponendo il 5% di sieroversione mensile-, se applicabile).

Simile alle analisi complessive del non anziano, per gli strati di età con stime multiple dello stesso paese, abbiamo calcolato l'IFR ponderato per dimensione del campione per paese prima di stimare gli IFR mediani tra i paesi per i gruppi di età 0-19, 20-29, 30-39, 40-49, 50-59 e 60-69 anni. Le stime IFR sono state collocate in questi gruppi di età in base al loro punto medio, indipendentemente dal fatto che corrispondano perfettamente alla fascia di età o meno, ad esempio una stima IFR per l'età di 18-29 anni è stata inserita nel gruppo di 20-29 anni. Per quanto riguarda l'analisi principale, ogni volta che non è stato effettuato alcun aggiustamento per le prestazioni del test, abbiamo regolato le stime per le prestazioni del test utilizzando la formula Gladen-Rogan; e ogni volta che non c'era alcun aggiustamento per la sieroversione, abbiamo corretto i risultati assumendo il 5% di sieroversione mensile.

2.8 Analisi di sensibilità

Abbiamo eseguito le seguenti analisi di sensibilità

1. Limitato ai paesi ad alto reddito. Il conteggio insufficiente e eccessivo dei decessi può verificarsi anche nei paesi ad alto reddito (17), ma la preoccupazione per il conteggio insufficiente è più grave in altri paesi

(19). Tuttavia, il sotto-counting può essere molto meno un problema nelle persone non anziane che negli anziani.

2. Considerando i decessi fino a 2 settimane dopo il punto medio del campionamento della sieroprevalenza, invece di una sola settimana.
3. Esclusi gli studi in cui il momento scelto non era l'ultimo disponibile (la sieroprevalenza osservata è diminuita successivamente).
4. Esplorando diverse correzioni di sieroversione dell'IFR di X_m -fold, dove m è il numero di mesi dal picco della prima ondata epidemica nella posizione specifica. A X sono stati dati valori di 1,00, 0,99 e 0,90 corrispondenti a nessuna sieroversione, 1% e 10% tasso relativo di sieroversione ogni mese dal picco della prima ondata epidemica nella posizione specifica alla data della
5. Includendo nei calcoli complessivi dell'IFR nei non anziani anche i dati imputati da paesi in cui la percentuale di decessi per COVID-19 che si verificano tra i non anziani non era disponibile. Si tratta di un'analisi di sensibilità post-hoc ed è stata adottata perché un numero considerevole di studi rientrava in questa categoria. In particolare, abbiamo ipotizzato che la percentuale di decessi per COVID-19 rappresentata dai non anziani fosse un minimo del 10% per 0-59 anni (e del 20% per 0-69 anni) e un massimo del 60% per 0-59 anni (e del 90% per 0-69 anni).

2.9 Valutazione dell'eterogeneità

Abbiamo esplorato se l'IFR stimato per i non anziani in diversi paesi era associato alla struttura della piramide delle età nella popolazione di ciascun paese. In particolare, abbiamo eseguito analisi di meta-regressione del paese IFR nel non-anziano contro la percentuale della popolazione non-anziano che ha meno di 50 anni. Sono state eseguite analisi di regressione separate utilizzando la definizione di non anziano

come <70 anni e <60 anni.

Ulteriori fattori che sono stati esplorati per l'associazione con l'IFR nel paese non anziano erano il reddito (paese ad alto reddito rispetto ad altro) e il tasso di mortalità annuale a livello di popolazione in ciascun paese (<https://worldpopulationreview.com/country-rankings/death-rate-by-country>). Abbiamo usato queste osservazioni nel tentativo di estrapolare alle rispettive caratteristiche della popolazione globale, per cercare di approssimare l'IFR tra i non anziani nella popolazione globale.

3. RISULTATI

3.1 Studi ammissibili

Entro l'8 febbraio 2022, Serotracker aveva 2930 studi di sieroprevalenza, di cui 547 voci sono state descritte come "nazionali". Di questi, 420 avevano la data di fine del campionamento prima del 28 febbraio 2021. 183 sono stati caratterizzati come "campioni domestici e comunitari" o "popolazioni multiple". Di questi, 107 avevano un rischio di pregiudizio basso, moderato o poco chiaro. Abbiamo esaminato in profondità le 107 voci e 73 sono state escluse. Pertanto, 34 studi sono stati ammissibili da questa fonte. La nostra ricerca su PubMed ha prodotto 474 articoli, di cui sono stati identificati altri quattro studi ammissibili. Il 25 maggio 2022, abbiamo aggiornato la ricerca e trovato 2 studi aggiuntivi da includere. In totale, sono stati estratti e analizzati i dati di 40 studi che hanno riguardato le stime nazionali di sieroprevalenza per 38 paesi diversi (18,20-58). 30 paesi avevano dati sui decessi per COVID-19 stratificati per età pubblicamente disponibili. La relazione di uno di questi paesi (Austria) non ha riportato alcuna informazione sulla sieroprevalenza stratificata per età. Pertanto, 29 paesi con dati provenienti da 31 studi sono stati inclusi nell'analisi primaria (appendice Figura 1).

3.2 Caratteristiche degli studi ammissibili

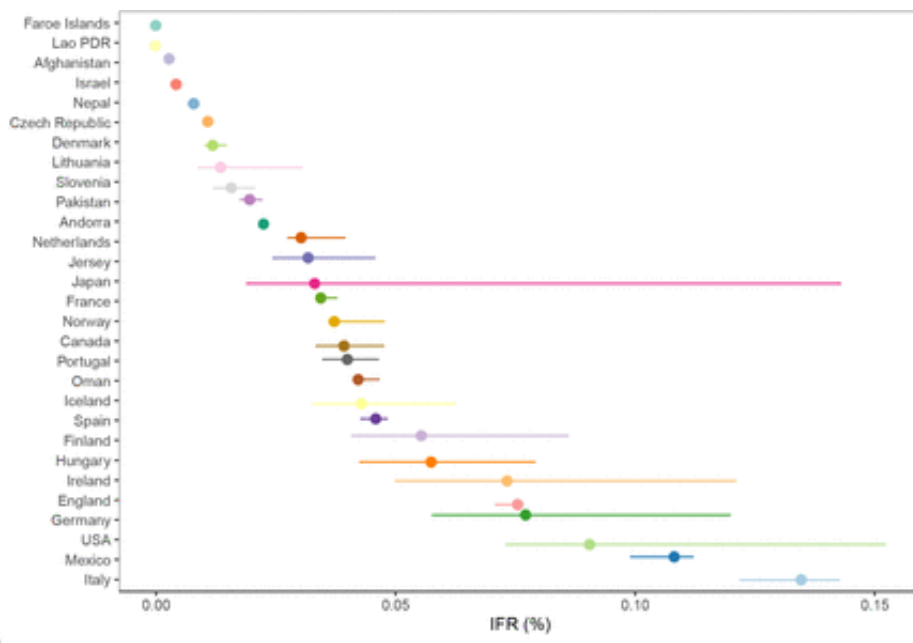
La tabella 1 mostra le caratteristiche principali per i 31 studi con dati di mortalità COVID-19 stratificata per età e dati di sieroprevalenza accessibili al pubblico. Come mostrato, questi dati provenivano da 24 paesi ad alto reddito e da altri 5 paesi.

Tabella 1.

Studi ammissibili per l'analisi principale (quei paesi che hanno dati sui decessi COVID-19 stratificati per età e informazioni sulla sieroprevalenza)

3.3 Stime IFR nei paesi non anziani

In 29 paesi dell'analisi primaria, con dati sulla morte per COVID-19 e sulla sieroprevalenza stratificati per età, gli IFR nei non anziani (Figura 1, Tabella 1) avevano una mediana dello 0,035% (intervallo interquartile (IQR) 0,013 - 0,056%, Figura 1A) per la popolazione di 0-59 anni e dello 0,095% (IQR 0,036 - 0,154%, Figura 1B) per la popolazione di 60-99 anni. La figura 1 mostra anche IC del 95% per gli IFR basati sul 95% di IC per le stime di sieroprevalenza.



A

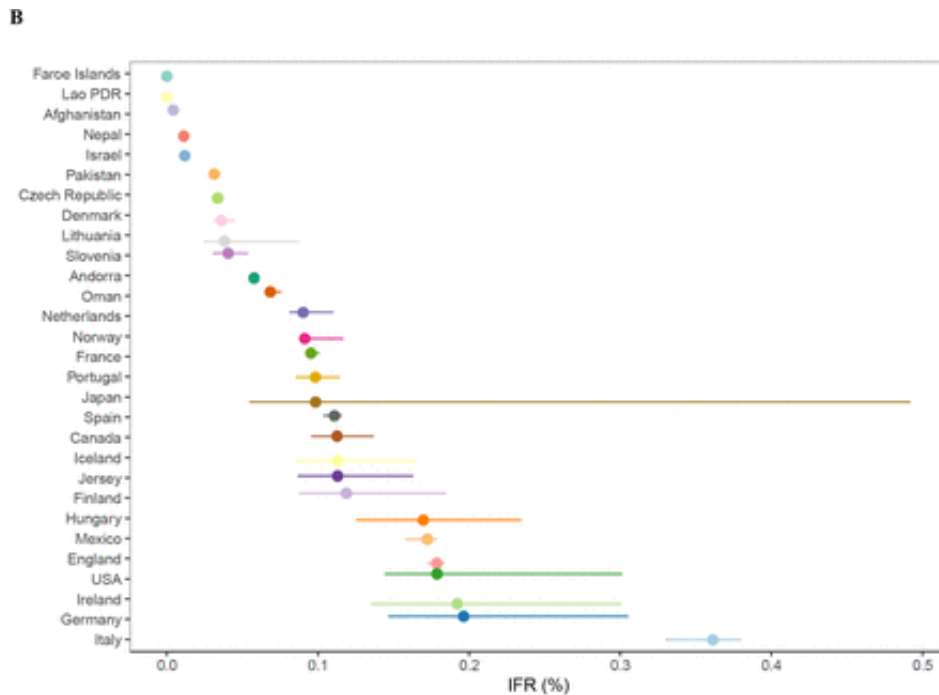


Figura 1. Tasso di mortalità per infezione (IFR) e intervallo di confidenza del 95% per paese. Pannello (A) per persone di età inferiore ai 60 anni. Pannello (B) per persone di età inferiore ai 70 anni.

Nota: per stime multiple dallo stesso paese (Francia e Stati Uniti), abbiamo calcolato l'IFR ponderato per paese. Gli intervalli di confidenza del 95% sono stimati principalmente come estrazioni dirette dagli studi di sieroprevalenza. Per gli studi che non hanno riportato intervalli di confidenza del 95%, abbiamo integrato con un calcolo utilizzando il numero di individui campionati e sieropositivi. Per quelli che hanno fornito stime corrette per le fasce di età (ad esempio, 0-9, 10-19, 20-29, ecc.), abbiamo combinato le stime per ogni studio utilizzando una meta-analisi della varianza inversa degli effetti fissi (di proporzioni trasformate dell'arcsine) per ottenere intervalli di confidenza del 95%. Per questi casi si può osservare l'asimmetria intorno alle stime dei punti, poiché le stime dei punti sono state calcolate moltiplicando la sieroprevalenza della fascia di età per il corrispondente conteggio della popolazione (il che è preferibile, poiché tiene conto della distribuzione della popolazione). Si prega di notare che l'incertezza nelle stime di sieroprevalenza è maggiore di quella trasmessa dai tipici intervalli di confidenza del 95%.

3.4 Stime IFR per strati di età ristretta

Per l'analisi dei contenitori di età ristretti (Figura 2), l'IFR mediana era 0,0003% (IQR, da 0,0000 a 0,002) a 0-19 anni, 0,003% (IQR, da 0,000 a 0,007) a 20-29 anni, 0,011% (IQR, da 0,005 a 0,031) a 30-39 anni, 0,035% (IQR, da Escludendo dai calcoli i contenitori di età con 0 decessi (dove l'IFR è quindi calcolato come 0,000% ma ha una grande incertezza), l'IFR mediano era rispettivamente dello 0,001%, dello 0,006%, dello 0,012%, dello 0,048%, dello 0,158% e dello 0,544% in questi contenitori di età.

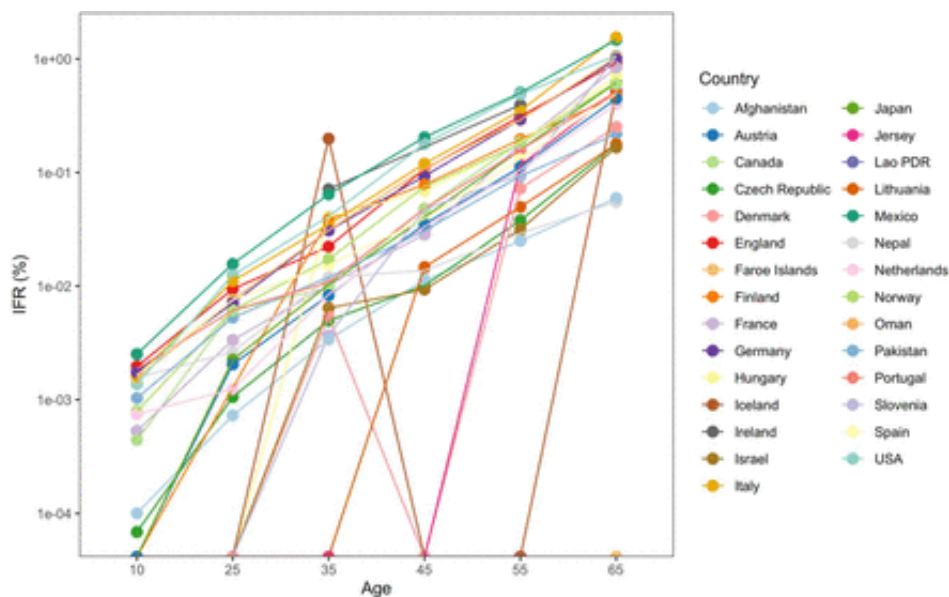


Figura 2. IFR in ogni paese per ogni contenitore di età specificato

3.5 Analisi di sensibilità

Tra i paesi ad alto reddito, l'IFR mediano era dello 0,038% nella fascia di età 0-59 anni e dello 0,098% nella fascia di età 0-69 anni. L'analisi di sensibilità considerando i decessi fino a 2 settimane dopo il punto medio del campionamento della sieroprevalenza, invece di una sola settimana, ha prodotto risultati in gran parte simili (non mostrati). L'analisi di sensibilità escludendo gli studi in cui il punto temporale scelto per la sieroprevalenza di picco non era l'ultimo disponibile (la sieroprevalenza osservata è diminuita successivamente) ha prodotto IFR mediano dello

0,035% nel gruppo di 0-59 anni e dello 0,093% nel gruppo di età 0-69 anni. Appendice Tabella 2 mostra i risultati con diverse ipotesi sulla sieroverosione.

Nell'analisi di sensibilità post hoc volta a includere tutti i paesi nei calcoli, per i paesi senza dati disponibili sulla mortalità stratificata per età, si presumeva che il 10-60% e il 20-90% dei decessi per COVID-19 si siano verificati rispettivamente tra persone di 0-59 e 0-69 anni. Inoltre, poiché i dati sui decessi stratificati per età per l'Austria erano stati raccolti, ma il rapporto dello studio sulla sieroprevalenza non descriveva la sieroprevalenza stratificata per età, abbiamo considerato la sieroprevalenza complessiva (4,7%) per i gruppi di età 0-59 e 0-69 in questa analisi aggiuntiva. Nello scenario di mortalità minima stratificata per età, gli IFR mediani erano dello 0,0225% (IQR 0,006 - 0,043%) per lo 0-59 e lo 0,063% (IQR 0,011 - 0,113%) per la fascia di età 0-69. Nello scenario massimo, gli IFR mediani erano dello 0,032% (IQR 0,012 - 0,053%) per lo 0-59 e lo 0,082% (IQR 0,034 - 0,117%) per la fascia di età 0-69.

3.5 Valutazione dell'eterogeneità

La regressione pre-specificata dell'IFR per il gruppo di età 0-59 anni rispetto alla percentuale di persone <50 anni (Figura 3A) aveva una pendenza di -0,002 ($p=0,08$), suggerendo un IFR dello 0,054%, 0,043% e 0,026 % quando la percentuale di persone <50 anni nel gruppo 0- La stessa analisi per il gruppo di età 0-69 anni (Figura 3B) ha avuto una pendenza di -0,004 ($p=0,01$), suggerendo un IFR di 0,139%, 0,117%, 0,072% e 0,027% quando la percentuale di persone <50 anni nel gruppo 0-69 era rispettivamente del 65%, 70%, 80%

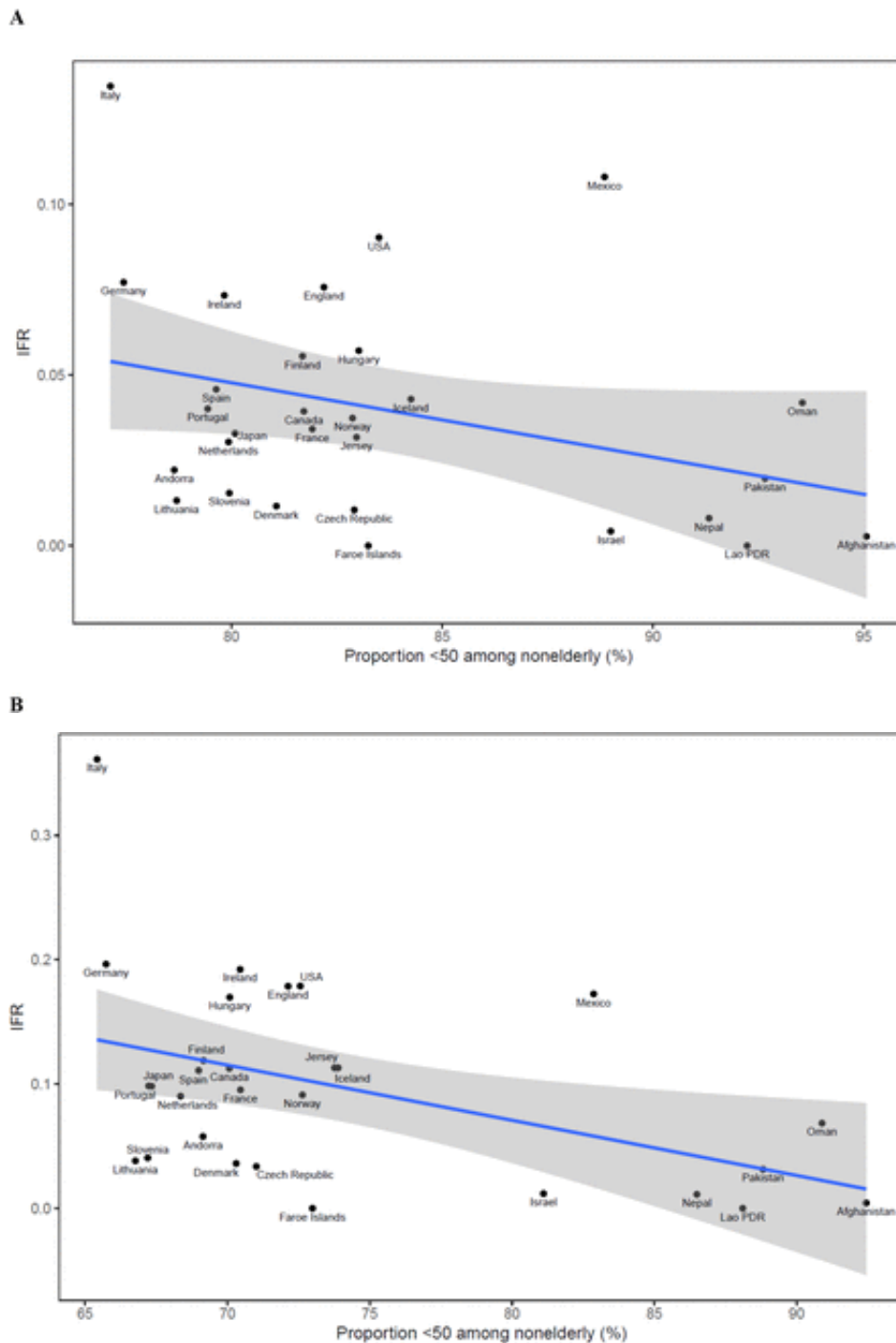


Figura 3. Meta-regressioni dell'IFR in funzione della proporzione della popolazione <50 anni tra (A) tra quelli di 0-59 anni e (B) tra quelli di 0-69 anni.

L'IFR mediano per la fascia di età 0-59 anni era dello 0,038% nei paesi ad alto reddito contro lo 0,008% in altri paesi ($p = 0,12$ con il test Mann-Whitney U). L'IFR mediano per il gruppo di 0-69 anni era dello 0,098% nei paesi ad alto reddito contro lo 0,012% in altri paesi ($p = 0,04$ secondo il test Mann-Whitney U). Una regressione dell'IFR per la fascia di età 0-59

anni contro il tasso di mortalità grezzo per 1.000 persone (di tutte le età) in ogni paese aveva una pendenza di 0,002 ($p = 0,46$), mentre per la fascia di età 0-69 la pendenza era 0,009 ($p = 0,16$).

4. DISCUSSIONE

L'attuale valutazione sistematica completa degli studi nazionali sulla sieroprevalenza suggerisce che l'IFR del COVID-19 tra le popolazioni non anziane nell'era pre-vaccinazione è sostanzialmente inferiore a quanto calcolato in precedenza (4-8,59), specialmente negli strati di età più giovane. Gli IFR mediani mostrano un chiaro gradiente di età con un aumento di circa 3-4 volte per ogni decennio, ma parte dal 0,0003% tra i bambini e gli adolescenti e raggiunge lo 0,5% nella fascia di età 60-69 anni. Le analisi di sensibilità considerando tutti i 38 paesi con dati di sieroprevalenza identificati nella nostra ricerca sistematica hanno mostrato che l'IFR mediano potrebbe essere fino a un terzo inferiore alle stime prodotte dalla nostra analisi principale, ad esempio circa lo 0,03% nel gruppo di età 0-59 anni e lo 0,06-0,08% nel gruppo di 0-69 anni. Coerentemente con queste stime, le meta-regressioni suggeriscono stime IFR in quell'intervallo per la popolazione globale dove l'87% delle persone di 0-59 anni ha meno di 50 anni e l'80% delle persone di 0-69 anni ha meno di 50 anni.

Le nostre stime IFR tendono ad essere modestamente a marcatamente inferiori a diversi calcoli precedenti (4-8, 59). La valutazione preliminare più completa dell'IFR COVID-19 nell'era pre-vaccinazione (59) ha suggerito un IFR minimo all'età di 7 anni (0,0023%, intervallo di incertezza del 95% 0,0015-0,0039) e un aumento esponenziale attraverso 30 anni (0,0573%, 0,0418-0,0870), 60 anni (1,0035%, 0,7002-1,5727) e Al contrario, le nostre stime IFR mediane sono circa 10 volte inferiori a questi calcoli precedenti tra i bambini e i giovani adulti e 3-6 volte più basse tra gli adulti di 40-69 anni. Se escludiamo i dati dello studio dai contenitori per età con 0 decessi nei nostri calcoli (una scelta giustificabile, poiché

queste stime dello 0% IFR sono chiaramente sottostimate), i nostri IFR stratificati per età sono ancora circa 2-5 volte inferiori a quelli di (59) in tutta la fascia di età. I precedenti calcoli IFR (4-8, 59) si basavano su dati di studi rappresentativi nazionali più limitati e includevano anche dati provenienti da campioni non nazionali con bias potenzialmente più grandi. Probabilmente includevano anche per lo più paesi duramente colpiti che potrebbero tendere ad avere le più alte stime IFR. Mentre gran parte della diversità degli IFR tra i paesi è spiegata dalle differenze nella struttura per età (59), sono possibili ulteriori differenze sostanziali. Un'altra ragione importante per la discrepanza rispetto ai calcoli precedenti è dovuta al fatto che alcuni calcoli precedenti (ad esempio il riferimento 59) hanno sostanzialmente aumentato le loro stime iniziali dell'IFR moltiplicandole per un fattore di sottoaccertamento dei decessi per COVID-19. Allineare le valutazioni in termini di questa differenza metodologica avvicinerrebbe le stime, ma la divergenza sarebbe ancora presente con le nostre stime che rimangono più basse. Alcune altre stime per l'IFR pre-vaccinazione concordano più con le nostre stime complessive, ad es. 0,107% in tutte le età combinate (60).

Le stime mediana dell'IFR non dovrebbero diminuire l'attenzione alla grande eterogeneità osservata in diversi studi e paesi. Alcune delle eterogeneità osservate possono essere artefatti di dati (ad esempio se il numero di decessi o la sieroprevalenza non sono misurati con precisione) e alcuni possono riflettere differenze reali tra popolazioni e contesti. Il rischio di mortalità da COVID-19 è fortemente influenzato dalla presenza e dalla gravità delle comorbilità (61). Sebbene ciò sia estremamente ben documentato dagli studi sulla popolazione, le stime IFR stratificati per comorbilità non sono in genere disponibili negli studi nazionali di sieroprevalenza. Uno studio nazionale sui donatori di sangue in Danimarca ha stimato un IFR di solo 0,00336% per le persone < 51 anni senza comorbilità e dello 0,281% per le persone di età compresa tra 61-69 anni senza comorbilità (62). La percentuale di persone con alcune comorbilità che sono molto influenti per i risultati del COVID-19 come l'obesità è

molto diversa tra i diversi paesi, anche per le stesse fasce d'età. Per esempio, l'obesità colpisce il 42% della popolazione degli Stati Uniti (63), ma la percentuale di adulti obesi è solo del 2% in Vietnam, del 4% in India e <10% nella maggior parte dei paesi africani (64). Tuttavia, anche in Africa, l'obesità colpisce lo 0% delle donne etiopi e quasi il 40% delle donne sudafricane (65). Un'altra differenza influente è la presenza di individui fragili in strutture a lungo termine, dove gli IFR possono essere molto più alti e in che misura questi individui altamente vulnerabili sono infetti. Anche se la stragrande maggioranza degli individui fragili nell'assistenza a lungo termine ha ≥ 70 anni, una piccola percentuale è più giovane e può rappresentare una percentuale sostanziale di decessi negli strati non anziani che abbiamo esaminato nell'analisi attuale, specialmente in alcuni paesi ad alto reddito, ma non in altri. Altre differenze nella gestione, nell'assistenza sanitaria, nel sostegno sociale generale e nelle epidemie concomitanti, ad esempio l'overdose di droga (66), possono anche aver plasmato grandi differenze tra i paesi.

Alcune limitazioni dovrebbero essere riconosciute in questo lavoro. Gli artefatti dei dati sotto forma di errori di misurazione possono aver influenzato i risultati di alcuni studi inclusi in questa analisi, e quindi anche la sintesi dei dati. Gli studi di sieroprevalenza hanno molti avvertimenti (7) e l'incertezza nelle stime di sieroprevalenza è maggiore di quella trasmessa dai tipici intervalli di confidenza del 95%. Nel complesso, tuttavia, non c'è motivo di suggerire che la sovrastima della sieroprevalenza sia molto più o molto meno comune della sottostima. Tra i 40 studi nella nostra valutazione, lo studio nazionale italiano sulla sieroprevalenza ha fornito stime che sono molto lontane da qualsiasi altro studio. Una differenza notevole che abbiamo trovato in questo studio è il requisito di isolare dopo un risultato positivo al test degli anticorpi (67,68). Ciò avrebbe potuto scoraggiare la partecipazione di persone che si aspettavano di risultare positive, probabilmente sopravvalutando l'IFR (68). I valori anomali sono più sospetti per pregiudizi e inesattezze, quindi ci siamo concentrati principalmente sui valori mediani. Per i conteggi dei

decessi, è più probabile che i decessi per COVID-19 siano stati sottovalutati nelle prime ondate, ma sia il conteggio eccessivo che quello insufficiente potrebbero essersi verificato in una certa misura in contesti diversi (17). Alcuni degli studi che suggeriscono stime più elevate di IFR utilizzano grandi correzioni per il sotto-counting dei decessi (59,69).

Tuttavia, non è chiaro se tali grandi correzioni siano giustificate. In particolare, per i gruppi di età non anziani, i decessi tra giovani adulti e bambini potrebbero essere meno probabili a essere persi, al contrario dei decessi di individui anziani in cui l'attribuzione causale a una singola causa può essere più difficile e dove anche nei paesi ad alto reddito potrebbe essersi verificata una sottosegnalazione del COVID-19 se i test non erano diffusi. Ad esempio, nei Paesi Bassi, il servizio nazionale di statistiche suggerisce che molti decessi per COVID-19 potrebbero non essere stati registrati nella prima ondata; tuttavia, questi riguardavano in gran parte individui anziani (70).

Coerentemente con le stime molto basse di IFR nei non anziani che abbiamo ottenuto in questo lavoro, i calcoli delle morti in eccesso (71) non mostrano morti in eccesso tra bambini e adolescenti durante la pandemia in quasi tutti i paesi che hanno dati di registrazione dei decessi altamente affidabili. Nella maggior parte di questi paesi, inoltre, i decessi in eccesso negli adulti non anziani sono molto limitati, ma si verificano eccezioni, in particolare negli Stati Uniti dove quasi il 40% dei decessi in eccesso era in popolazioni di età inferiore ai 65 anni (71). Questo quadro è molto coerente con l'IFR complessivamente molto basso nei non anziani, ma anche con la grande diversità nei profili di rischio delle popolazioni in diversi paesi.

Infine, i dati che abbiamo analizzato riguardano il periodo pre-vaccinazione. Durante il 2021 e il 2022, l'uso della vaccinazione e l'avvento di nuove varianti più l'immunità preesistente da infezioni precedenti hanno portato a un marcato calo dell'IFR. Gli studi in

Danimarca (72) e Shanghai (73) suggeriscono che nel 2022 gli IFR nelle popolazioni vaccinate e non infette erano estremamente bassi. Ad esempio, in Danimarca, l'IFR era solo 1,6 per 100.000 infezioni per le età 17-35 e anche all'età 61-72 era solo 15,1 per 100.000 infezioni. A Shanghai, nel 2022, l'IFR era dello 0,01% tra gli individui vaccinati di età compresa tra 40 e 59 anni e vicino allo 0% per i giovani vaccinati, mentre era praticamente dello 0% per i bambini e gli adolescenti indipendentemente dalla vaccinazione. Altri studi sulla popolazione, ad esempio a Voivodina, Serbia (74), suggeriscono che i tassi di mortalità possono essere dieci volte più bassi nelle re-infezioni rispetto alle infezioni primarie. I contributi relativi della vaccinazione, dell'infezione precedente e delle nuove varianti nel declino dell'IFR necessitano di un attento studio e di un monitoraggio continuo. Tuttavia, è rassicurante che anche nelle varietà selvagge che hanno dominato il primo anno della pandemia, l'IFR negli individui non anziani era molto più basso di quanto si pensasse in precedenza.

Pdf by:
<https://www.pro-memoria.info>

Disponibilità dei dati

Il protocollo, i dati e il codice utilizzati per questa analisi saranno resi disponibili presso l'Open Science Framework al momento della pubblicazione: <https://osf.io/xvupr>

<https://osf.io/xvupr>

Estratto conto dell'autore

A.M.P.: Concettualizzazione; Cura dei dati; Analisi formale; Indagine; Scrittura - bozza originale; Scrittura - revisione e modifica. C.A.: Concettualizzazione; Cura dei dati; Indagine; Scrittura - revisione e modifica. D.G.C.-I.: Concettualizzazione; Cura dei dati; Indagine; Scrittura - revisione e modifica. A.A.: Concettualizzazione; Cura dei dati; Indagine; Scrittura - revisione e modifica. J.P.A.I.: Concettualizzazione;

Curazione dei dati; Analisi formale; Indagine; Scrittura – bozza originale; Scrittura – revisione e modifica.

Finanziamento

Il lavoro di John Ioannidis è supportato da un dono illimitato di Sue e Bob O'Donnell. Il lavoro di Angelo Maria Pezzullo in questa ricerca è stato sostenuto dal progetto European Network Staff Exchange for Integrating Precision Health in the Healthcare Systems (Marie Skłodowska-Curie Research and Innovation Staff Exchange n. 823995). Cathrine Axfors ha ricevuto finanziamenti al di fuori di questo lavoro dalla borsa di studio post-dottorato della Fondazione Knut e Alice Wallenberg (KAW 2019.0561) e borse di studio post-dottorato dall'Università di Uppsala (E o R Börjesons stiftelse; Medicinska fakultetens i Uppsala stiftel I finanziatori non hanno avuto alcun ruolo nella progettazione e nella conduzione dello studio; raccolta, gestione, analisi e interpretazione dei dati; preparazione, revisione o approvazione del manoscritto; o decisione di presentare il manoscritto per la pubblicazione.

Dichiarazione dati

Il protocollo, i dati e il codice utilizzati per questa analisi saranno resi disponibili presso l'Open Science Framework al momento della pubblicazione: <https://osf.io/xvupr>.

Approvazione etica

Non applicabile.

Dichiarazione di interesse concorrente

Gli autori dichiarano di non avere noti interessi finanziari concorrenti o relazioni personali che avrebbero potuto apparire influenzare il lavoro riportato in questo documento.